GEOLOGISCHE KARTE VON WIEN UND UMGEBUNG 1:200.000

Herausgegeben von der Geologischen Bundesanstalt, Wien 1984

Bearbeitet von W. FUCHS und R. GRILL nach der Literatur und unpublizierten Unterlagen von M. R. CHAHIDA, G. FUCHS, W. FUCHS, R. GRILL, K. HAYR, P. LEMBERGER, R. MILLES, B. PLOCHINGER, S. PREY, A. G. RIEDMÜLLER, O. SCHMIDEGG, F. SOHS, H. SUMMESBERGER, A. TOLLMANN, H. VETTERS, E. VOHRYZKA, G. WESSELY, G. ZSUTTY, sowie mit Verwendung von Ergebnissen der Erdölindustrie (ÖMV AG, RAG u. a.); für den tschechoslowakischen Anteil Benützung einer Unterlage von V. BAŇACKÝ und A. SABOL, zusammengestellt nach veröffentlichten Karten; für den ungarischen Anteil Benützung von Unterlagen des Zentralamtes für Geologie.

48/16, 48/17

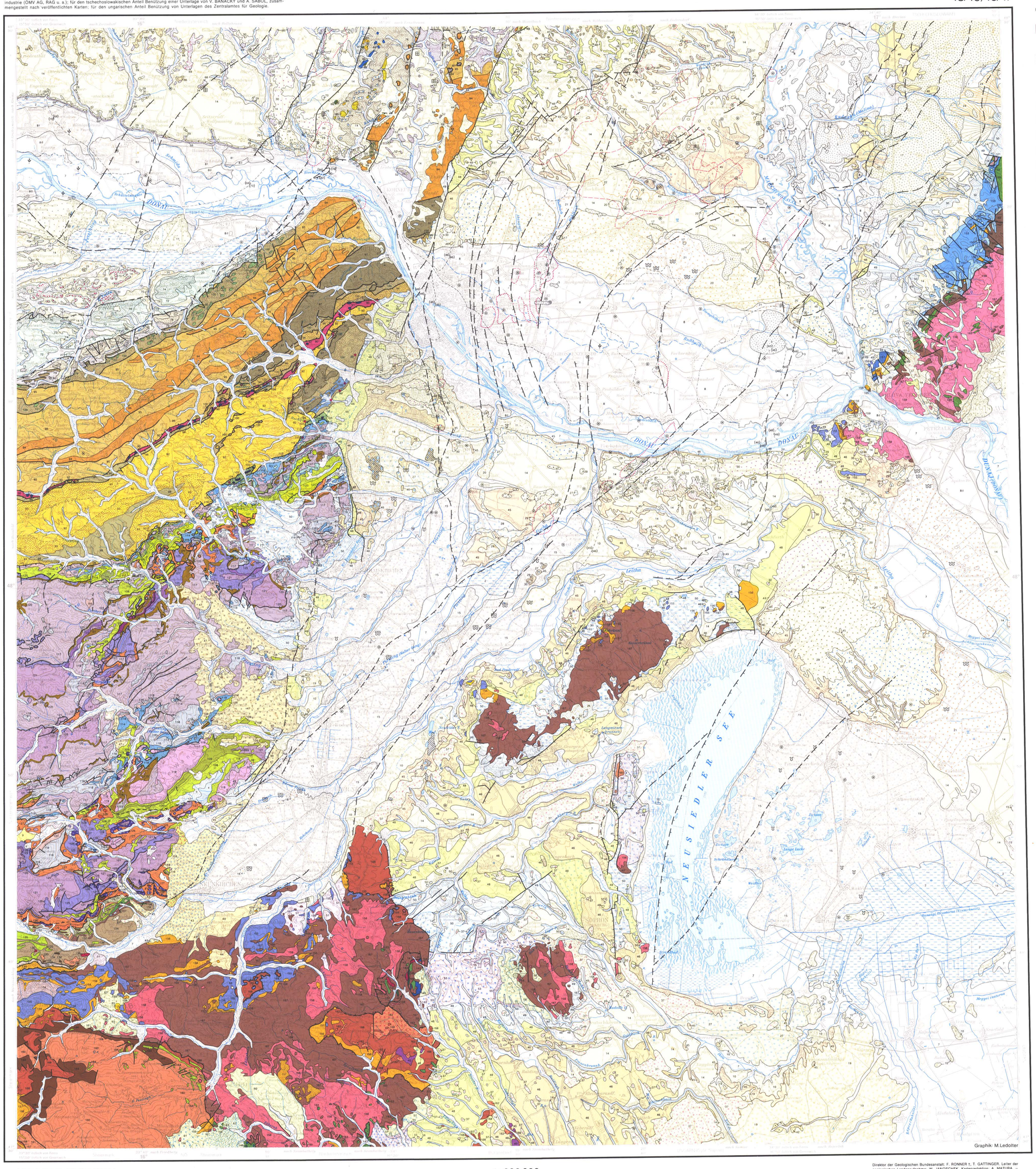

JUNGE BEDECKUNG

- 1 Abraumhalde (Kohletagbau Neufeld/Leitha); Mülldeponie, Bauschutt (Ziegelgrube)
- 2 Moor, anmoriger Boden; Torfwannen des Wasen (Hansäg), teilweise abgetragen bzw. ausgebrannt; *Postglazial*
- 3 Jüngerer Flugsand; *Postglazial*
- 4 Seeton (Neue Welt); *Postglazial*
- 5 Abschmelzschotter (Schneeberg-Ostfuß); *Post- bis Spätglazial*
- 6 Schutt
- 7 Aue des Jüngeren Anteiles der Heutigen Talböden an Donau und March; *Postglazial* Lehmig-sandig-schotterige Ablagerungen lokaler Gerinne; *Postglazial bis Jungpleistozän*
- 8 Höhere und ältere Fluren des Jüngeren Anteiles der Heutigen Talböden; d = Donaufeld, f = Feld (beide im Tullner Becken); *Postglazial*
- 9 Moräne (Schneeberg); *Würm*
- 10 Schotter der Niederterrasse lokaler Gerinne; *Würm*, in Ungarn P_4 = *Oberpleistozän*
- 11 Älterer Anteil der Heutigen Talböden an der Donau (Schotter der Niederterrasse); *Würm*
- 12 Froststauchung in stratigraphisch wichtiger Position (*Würm*-Nachweis)
- 13 Schwemmkegel (Slowakei); *Würm*
- 14 Löß, Lehm; *meist Jungpleistozän (Würm)*
- 15 Jüngerer Steinfeldschotter (*Würm*) über Älterem Steinfeldschotter, tektonisch abgesenkt
- 16 Älterer Steinfeldschotter (*Riß*) unter Jüngerem Steinfeldschotter aufgeschlossen, Terrassenstockwerksbau im südlichen Wiener Becken
- 17 Älterer Flugsand, meist nicht kalkig; *Pleistozän*
- 18 Umgrenzung eines Senkungsgebietes (Marchfeld) mittels ausgewählter, auf Tertiärobenkante bezogener Isohypse; *Postglazial bis Jung-(?Mittel-)pleistozän*
- 19 Schotter der Hochterrasse lokaler Gerinne; *Riß*, in Ungarn P_3 = *Mittelpleistozän*
- 20 Schotter der Gänserndorfer Terrasse der Donau; *Riß*
- 21 Schotter der Gänserndorfer Terrasse der Donau und tributärer Gerinne, tektonisch abgesenkt
- 22 Nordgrenze der Gänserndorfer Terrasse im Marchfeld
- 100 23 Froststauchung in stratigraphisch wichtiger Position; Terrassenstockwerk (*Riß*-Nachweis)
- 24 Schwemmkegel (Slowakei); *Riß*
- 25 Schwemmkegel (Slowakei); *Mindel und älter*
- 26 Schuttkomplex des Mitterriegels (Leithagebirge); *Pleistozän*
- 27 Schotter der Terrasse S Ornding (Terrassensockel 17 m über Donau) und tributärer Gerinne; *Mindel*, in Ungarn P_2 = *Mittel- bis Unterpleistozän*
- 28 Lokale Äquivalente der Schotter der Terrasse S Ornding (südlich von Himberg) tektonisch abgesenkt
- 29 Schotter der Terrasse von Lehen (Terrassensockel 25–30 m über Donau) und tributärer Gerinne; *Mindel*
- 30 Schotter der Terrasse N Hochstraßberg (Terrassensockel 45 m über Donau) und tributärer Gerinne; *Günz*
- 31 Schotter der Terrasse S Traismauer (Terrassensockel 65 m über Donau) und tributärer Gerinne; *Prägünz (= Ältestpleistozän) bis Oberpliozän*
- 32 Schotter der Wachberg-Terrasse (Terrassensockel 75–80 m über Donau) und tributärer Gerinne; *Ältestpleistozän bis Oberpliozän*
- 33 Schotter der Schneiderberg-Terrasse (Terrassensockel 90 m über Donau); *Ältestpleistozän bis Oberpliozän*
- 34 Schotter der Rosenfeld-Terrasse (Terrassensockel 105 m über Donau); *Ältestpleistozän bis Oberpliozän*
- 35 Schotter der Terrasse von Knocking (Terrassensockel 130 m über Donau); *Ältestpleistozän bis Oberpliozän*
- 36 Schotter der Terrasse N Mauer (Terrassensockel 180 m über Donau); *Oberpliozän*
- 37 Terrassenschotter ungegliedert; *Jungpleistozän bis Oberpliozän*, in Ungarn P_1 = *Günz und älter*

INNERALPINES TERTIÄR

- 38 Ternitzer Nagelfluh (Konglomerat); *?Unterpliozän*
- 39 Würflacher Blockschotter und Äquivalente; *Unterpliozän*
- 40 Basalt (Pauliberg, Stoob); *Unterpliozän*
- 41 Rote Lehmserie (nördliches Wiener Becken: Niedersulz, Hohenruppersdorf); *Unterpliozän*
- 42 Kreuzgeschichtete Sande und Schotter (Ungarn); *Unterpliozän*
- 43 Rohrbacher Konglomeratserie; *Unterpliozän (bis ?Pont)*
- 44 Loipersbacher Rotlehmserie (südliches Wiener Becken); *Unterpliozän (bis ?Pont)*
- 45 Ton, Sand, lokal Lignit und Süßwasserkalk; *Pont* (ehemals *Oberpannon, Zonen H–F*)
- 46 Tonmergel, Sand, Ton, Schotter; *Pannon* (ehemals *Mittel- und Unterpannon, Zonen E–B*; im Pullendorfer Becken inkl. *Pont*)
- 47 Mistelbacher Schotterkegel (nördlich der Donau); *Unterpannon* Piesting-Triesting-Schotterkegel (südlich der Donau); *Unterpannon (bis Baden)*
- 48 Tonmergel, Sand, Schotter, Kalk, nicht differenziert; s = Schotter, k = detritärer Leithakalk; *Sarmat*
- 49 Tonmergel, Sand, Kalk, Schotter, nicht differenziert; *Mittel- bis Unterbaden*
- 50 k = Leithakalk, s = Sand und Sandstein, r = Schotter, b = Blockschotter; *Mittel- bis Unterbaden*
- 51 Kohleführende Süßwasserschichten (Sand, Ton; Grillenberg, Hart, u. a.); *?Unterbaden bis Karpat*
- 52 Korneuburger Schichten (Sand, Tonmergel); *Karpat*
- 53 Brennberger Blockschotter; *Karpat*
- 54 Ruster Schotter; *Karpat*
- 55 Hochriegelschichten (Sand, Ton, lokal Lignit); *Karpat*
- 56 Sinnersdorfer Konglomerat und Blockschotter; *Karpat*
- 57 Obere Auwaldschotter; *Ottnang*
- 58 Untere Auwaldschotter; *Ottnang*
- 59 Kohleführende Süßwasserschichten (Tonmergel, Sand) von Brennberg; *Ottnang*
- 60 Krumbacher Schichten (Schotter, Sand, Ton); *Ottnang*
- 61 Mönichkirchener Blockschotter; *Ottnang*
- 62 Zöberner Brekzie; *Ottnang*
- 63 Tertiärsediment (Schotter, Sand, Ton) von Kirchberg am Wechsel; *Ottnang*
- 64 Ritzendorfer Schichten (sandreiche und geröllführende Tonmergel); *Eggenburg*
- 65 Gelber und rötlicher Kalk (Wimpassing/Leitha; Blockvorkommen von Kirchberg am Wechsel); *Obereozän*

MOLASSE

- 66 Hollabrunner Schotterkegel (kreuzgeschichteter Sand, feinkörniger Quarzschotter; nördlich der Donau); *Unterpannon (Zonen C–B)*
- 67 Tonmergel, Sand; *Baden (Obere Lagenidenzone)* der Äußeren Molasse
- 68 Laaer Schichten (Tonmergel, Sand); *Karpat*
- 69 Flyschkonglomerat vom Haberg (jetzt Heidberg); *Karpat*
- 70 Oncophora-Schichten, Eisenschüssige Sande und Tone; *höheres Ottnang*
- 71 Eichbergkonglomerat (Flysch- und Kristallingerölle); *höheres Ottnang*
- 72 Robulus-Schlier s. l. (Tonmergel mit Sandlagen); *tieferes Ottnang*
- 73 Blockmergel von Königstetten (Flysch- und Kristallingerölle); *tieferes Ottnang*
- 74 Prinzersdorfer Sande; *tieferes Ottnang*
- 75 Blocksande von Königstetten, Blockschichten vom Heuberg (Flysch- und Kristallingerölle); *tieferes Ottnang*
- 76 Schieferiger Tonmergel; lokale Einschaltungen von Blockschichten (Flysch- und Kristallingerölle); *Ottnang bis Eggenburg*
- 77 Äquivalente des Haller Schliers (Tonmergel mit Sandlagen); *Eggenburg*
- 78 Buchbergkonglomerat (Flysch-, Kalk- und Kristallingerölle); *Eggenburg*
- 79 Älterer Schlier (Ton, Schieferton); Jüngerer und Älterer Melker Sand; Pielacher Tegel (Quarzsand, Ton mit Kohleführung); *Eger*
- 80 Ollersbacher Konglomerat (Quarz- und Kristallingerölle), lokale Einschaltungen im Älteren Melker Sand; *Eger*

Sedimentärer Untergrund der Ablagerungen der inneren Molasse nördlich der Donau:

- 81 Michelstettener Schichten (Tonmergel); *Eger*
- 82 Hollingsteinkalk; *Obereozän*
- 83 Kalk mit *Mytilus levesquei*; *Obereozän*
- 84 Reingruber Serie (Sand, Sandstein); *Obereozän*
- 85 Waschbergkalk; *Untereozän*
- 86 Bruderndorfer Schichten (Feinsand, Mergelsandstein, Glaukonitsandstein, Lithothamnienkalk); *Dan*
- 87 Mucronaten-Schichten (glaukonitischer Mergel und Sand); *Maastricht bis Campan*
- 88 Klementer Schichten (glaukonitischer Mergel und Sand); *Santon bis Oberturon*
- 89 Klentnitzer Schichten (Mergelkalk); *Tithon*

HELVETIKUM

- 90 Buntmergelserie i. a. (roter, grüner und grauer Schieferton, Mergel und Fleckenmergel); *Mitteleozän bis Alb* Sedimentärer Untergrund der Ablagerungen der Inneren Molasse südlich der Donau
- 91 Klippe der Buntmergelserie: Aptychen-Schichten, Fleckenmergel (*Neokom/Tithon*); Radiolarit, Hornstein führender Kieselton (*Malm*); Posidonienschichten (sandig-kieseliger Kalk, Ton, Mergel; *Dogger*); Grestener Schichten (Sandkalk, Mergelschiefer, Schieferton mit Kohle, Arkose, Konglomerat; *Lias*); konglomeratischer Sandstein beim Forsthaus in Neuwaldegg (*Keuper*). *Neokom bis Obertrias* Sedimentärer Untergrund der Gesteine der Buntmergelserie

FLYSCHZONE, NORDPENNINIKUM

- 92 Laaber Schichten: Agsbachschichten (Schieferton- und Feinsandsteinlagen); *(Obereozän) Mitteleozän bis Paleozän*
- 93 Laaber Schichten: Hoisschichten (vorw. Sandstein); *höheres Paleozän*
- 94 Greifensteiner Schichten (Schieferton mit grobkörnigen, Nummuliten führenden Einschaltungen von Greifensteiner Sandstein); *Mitteleozän bis Paleozän*
- 95 Altlengbacher Schichten (Kalk- und Mürbsandstein, grauer Mergel, grauschwarzer Tonschiefer); *Paleozän bis Maastricht*
- 96 Sieveringer Schichten (Kalk- und Mürbsandstein, grauer Mergel, grauschwarzer Tonschiefer); *Paleozän bis Maastricht*
- 97 Kahlenberger Schichten (Kalksandstein, Mergel); *Campan bis Santon*
- 98 Kaumberger Schichten (bunte Schiefertone und Tonmergel, Sandstein); *(Maastricht) Campan bis Coniac*
- 99 Pikrit, -tuff (Hörndlwald, Spiegelgrundgasse, Sulz, etc.), anstehend oder sekundär verfrachtet; *(?Apt) Alb bis Cenoman (Turon)*
- 100 Reiselsberger Sandstein, Bunte Schiefer, Gaultflysch, Wolfpassinger Schichten, Aptychen-Schichten, nicht differenziert; *Mittel- bis Unterkreide*
- 101 Neokomkalk
- 102 Klippen von St. Veit und W Baunzen (Aptychen-Schichten; Radiolarit; Posidonienschichten; dunkler Kalk, Ton- oder Konglomeratschiefer in „Grestener Fazies"; quarzitische Arkose); *Neokom bis Obertrias (Keuper)* Sedimentärer Untergrund der Gesteine der Kahlenberger Decke s. l.

FLYSCHZONE, MITTELPENNINIKUM

- 103 Klippenhülle von Sulz (rote, fossilleere Ton-Sandsteinfolge; darunter graugelber Kalk, *Maastricht bis Campan*) und Antonshöhe (gelbbrauner Mergel, *Mitteleozän bis Oberkreide*; braungrauer Tonmergel, karminroter Schieferton, *Cenoman*)
- 104 Klippen von Sulz (Pikrit, Tithon-Kalk, Radiolarit, Lias-Fleckenkalk und -mergel, Keuper-Quarzit; *Mittelkreide bis Obertrias*) und Antonshöhe (Tonschiefer, Aptychen- und Hornsteinkalk, Posidonienschichten; *Alb/Apt bis Dogger*)

OBEROSTALPIN

Gosauschichten:

- 105 Willendorfer Mergel; *Obereozän*
- 106 Zweiersdorfer Schichten (Mergel, mergeliger Sandstein); *Paleozän bis Dan*
- 107 Gießhübler Schichten (bunte Mergelschiefer, flyschähnlicher Sandstein); *Paleozän (bis Maastricht)*
- 108 Inoceramenmergel, Hippuritenriffkalk, Korallenmergel, Brachiopodenkalk, Exotica führendes Basiskonglomerat, Basisbrekzie, nicht differenziert; Bauxit (B); *Maastricht bis Coniac*
- 109 darin kohleführende Serie (Actaeonellen- und Nerineenkalk, Sandstein, Mergel, Tonschiefer, Konglomerat); *tieferes Campan*
- 110 Exotica führendes Konglomerat, Ittruvienkalk; *tieferes Turon bis hohes Cenoman*
- 111 Losensteiner Schichten (grauer Tonschiefer, Sandstein mit exotischen Geröllen), Äquivalente in der Krížna-Decke (Exotica führende, polygene Brekzie, Sandstein, Mergel); *tieferes Cenoman bis Oberalb*
- 112 Tannheimer Schichten (dunkler Tonschiefer, buntgefleckter Mergel); *höheres Oberalb bis Oberapt*
- 113 Aptychen-Schichten (Schrambachschichten: Kalk, Mergelkalk, sandiger Mergelschiefer, *Neokom*; Aptychen-Schichten s. s.: Mergelkalk, *?Tithon*); *Neokom bis Tithon*
- 114 Steinmühl-, Agatha-, Acanthicus-Kalk, bunte Kieselton- und Radiolaritschichten, Klauskalk, Laubensteinkalk, Fleckenmergel, Kieselkalk, etc., nicht differenziert; *Jura*
- 115 Bunter Keuper (Quarzit, bunte Tone); *Obertrias*; in den Schuflingen der „Frankenfelser Decke" teilweise auch Mergel des Cenoman, der hohen Unterkreide und des Lias umfassend
- 116 Schattwalder Schichten, Oberrhätkalk, Kössener Schichten, Starhembergkalk, Placklesmergel, Rhätriffkalk, nicht differenziert; *Rhät*
- 117 Hauptdolomit; *(tieferes Rhät bis) Nor*
- 118 Dachsteinkalk; *(tieferes Rhät bis) Nor*
- 119 Norischer Hallstätter Kalk, Wandkalk; *(Rhät bis) Nor*
- 120 Opponitzer Schichten, Lunzer Schichten, Trachyceras-Schichten, Cardita-Schichten, Tisovec-Kalk, Hallstätter Kalk, Halobienschiefer, nicht differenziert; *Karn*
- 121 Wettersteinkalk und -dolomit; *(tieferes Karn bis) Ladin*
- 122 Ramsaudolomit; *Ladin*
- 123 Reiflinger Kalk; *tieferes Ladin bis höheres Anis*
- 124 Schreyeralmkalk, Schusterbergkalk; *höheres Anis*
- 125 Gutensteiner Kalk und Dolomit; *Anis*
- 126 Reichenhaller Schichten (Flaserkalk, Rauhwacke, Dolomit, etc.); *tieferes Anis*
- 127 Werfener Schichten (roter bis graugrüner Quarzsandstein, Tonschiefer, Mergel) mit Gips; *Skyth*
- 128 Gipsführendes Haselgebirge; *Oberperm*
- 129 Präbichlschichten (Quarzkonglomerat); *Oberperm*
- 130 Pflanzenführender Graphitschiefer, Grauwacke, Quarzkonglomerat; *Oberkarbon*
- 131 Serizitschiefer, Sandstein, Quarzit, Konglomeratlagen; *Devon bis höchstes Silur*
- 132 Lydit (am Florianikogel zusammen mit erzführendem Kalk); *Mitteldevon bis Obersilur*
- 133 Porphyroid; *(Untersilur bis) Ordoviz*
- 134 Silbersberggrauwacke (serizitischer Schiefer, Quarzkonglomerat, Quarzit); *(Untersilur bis) Ordoviz*
- 135 Grünschiefer (Epidot-Chloritschiefer)
- 136 Riebeckitgneis
- 137 Paragneis, Glimmerschiefer
- 138 Amphibolit
- 139 Serpentinit

MITTELOSTALPIN

- 140 Semmeringquarzit, Tattermannschiefer; *Permoskyth*
- 141 Orthogneis
- 142 Paragneis
- 143 Granatamphibolit
- 144 Amphibolit
- 145 Marmor
- 146 Serpentinit

UNTEROSTALPIN

S = Semmeringsystem, T = Hochtatrikum, W = Wechselsystem

- 147 Mergelschiefer (T); *Cenoman bis Alb*
- 148 Plattenkalk (T); *Hauterive bis Tithon*
- 149 Hornstein- und Mergelkalk (T); *Malm bis Dogger*
- 150 Ballensteiner Kalk (T); *Lias*
- 151 Dunkler Kalk oder Dolomit (T); *Lias*
- 152 Marienthaler Schichten (schwarzer Schiefer) (T); *Lias*
- 153 Mergel, Sandstein (T); *Lias*
- 154 Keuper (Kalk, *Rhät*; bunte Serizitschiefer, Quarzit, „Bunter Keuper", *Nor*; schwarzer Tonschiefer mit Gips und Anhydrit, *Karn*) (S); *Obertrias*
- 155 Kalk, Dolomit, Rauhwacke; *Mitteltrias*
- 156 Semmeringquarzit; *Permoskyth*
- 157 Arkoseschiefer-Brekzien-Porphyroid-Serie, Alpiner Verrucano; *Perm*
- 158 Grobgneis (granitischer Augengneis, Metagranit) (S)
- 159 Granit bis Granodiorit i. a., teilweise pegmatitreich (T)
- 160 Serie der Wechselgneise (Chlorit-Albitgneis) (W)
- 161 Kristallinserie von Waldbach (W)
- 162 „Wiesmather Gneis" (W)
- 163 Amphibolit, Diorit
- 164 Grünschiefer (W)
- 165 Phyllit (T)
- 166 Paragneis von Berg (T)
- 167 Glimmerschiefer, Biotitschiefergneis (S + T)
- 168 Serie der Hangenden Wechselschiefer (Quarzphyllit, Chloritphyllit) (W)
- 169 Serie der Liegenden Wechselschiefer (Chlorit-Quarzphyllit) (W)

Erhältlich im Verlag der Geologischen Bundesanstalt, A-1030 Wien, Rasumofskygasse 23, und im Buchhandel

© Geologie: Geologische Bundesanstalt

Topographie: ÖK 200 des Bundesamtes für Eich- und Vermessungswesen (Landesaufnahme) in Wien.

1: 200.000

0 1 2 4 6 8 10 12 14 16 18 20 km

Gauß-Krüger-Projektion (3° Streifen), geographische Länge von Ferro = geographische Länge von Greenwich + 17° 40'00"
Höhen bezogen auf das Mittelwasser der Adria bei Triest

Direktor der Geologischen Bundesanstalt: F. RONNER †, T. GATTINGER. Leiter der geologischen Landesaufnahme: W. JANOSCHEK. Kartenredaktion: A. MATURA. – Graphische Gestaltung: O. BINDER. Reprotechnische Arbeiten: Geologische Bundesanstalt. Druck: Bundesamt für Eich- und Vermessungswesen (Landesaufnahme) in Wien.

Lage der Karte in Österreich

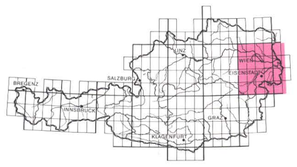

ZEICHEN

- Gesteinskontur, stratigraphische Grenze
- (48) Stratigraphische Grenze unter Quartärbedeckung
- Bruch (nachgewiesen/vermutet oder an der Oberfläche nicht wirksam)
- Wichtige Unterschiebungsfläche
- Untergeordnete Unterschiebungsfläche (Deckengrenze)
- Wichtiger Aufschluß von mehrgliedrigem Lößprofil
- Publizierte Fundstelle eines postglazial datierten Baumstammes (Tullner Becken, Marchfeld)
- 44 Wichtige Bohrung
- Erdölfeld
- Erdgasfeld
- Erdöl- und Erdgashorizonte
- Äußerste beobachtete Hochwassergrenze der Donau (Marchfeld)